

УДК 535.372

ИССЛЕДОВАНИЕ СИНЕЙ И УЛЬТРАФИОЛЕТОВОЙ ЛЮМИНЕСЦЕНЦИИ РОДАМИНА 6Ж

A. B. Аристов и B. C. Шевандин

Исследована степень поляризации коротковолновой люминесценции (КЛ) этанольного раствора родамина 6Ж (Р6Ж) в области 300–450 нм. КЛ возбуждалась при поглощении видимого ($\lambda=530$ нм) или ИК ($\lambda=1060$ нм) излучений в первом возбужденном состоянии (S_1) молекулы Р6Ж. Описана методика, позволяющая определить относительное расположение дипольных моментов переходов из состояния S_1 в вышележащие состояния (S_x) и из состояния S_1 в основное состояние (S_0) молекулы. Определено значение квантового выхода (η) КЛ, которое независимо от длины волны возбуждающего света находится в пределах $(2 \pm 1) \cdot 10^{-5}$. На основании приведенных экспериментальных данных сделан вывод о том, что КЛ представляет собой излучательную дезактивацию состояний S_x молекулы Р6Ж. Возможный вклад в КЛ системы триплетных уровней, фотопродуктов или примеси незначителен. Предложена схема термических состояний, в рамках которой объяснена совокупность полученных экспериментальных сведений. Показано, что каждая из полос КЛ представлена пятертками по крайней мере с двух электронных уровней, что существенно затрудняет определение времени жизни состояний S_x , если исходить из значений η и интеграла эмиссии по соответствующим полосам поглощения из состояния S_0 .

В работах [1, 2] сообщалось о свечении растворов некоторых родаминов в синей и ультрафиолетовой областях спектра. Это свечение было интерпретировано авторами как люминесценция при переходе из высших синглетных состояний (S_x) в основное состояние (S_0) молекул красителей. Заселение состояний S_x осуществлялось в цитируемых работах в результате перехода из первого возбужденного состояния (S_1) молекулы с поглощением видимого [2] или инфракрасного [1, 2] кванта. Вместе с тем имеются сведения, что за коротковолновую люминесценцию (КЛ) растворов органолюминофоров могут быть ответственны как триплетные молекулы [3], так и фотопродукты [4, 5]. Поскольку время жизни состояний S_x по оценкам, приведенным в [1], составляет $\sim 10^{-12}$ с, следует ожидать, что КЛ будет иметь выраженную поляризацию даже в жидких растворах. Изучение поляризации этого свечения позволяет получить сведения о взаимном расположении дипольных моментов переходов $S_x \leftrightarrow S_0$, $S_1 \rightarrow S_x$ и $S_1 \leftrightarrow S_0$, на основании которых могут быть сделаны выводы о природе КЛ в каждом отдельном случае. В нашей работе приведены сведения о поляризации КЛ в пределах ее спектра при ступенчатом возбуждении раствора родамина 6Ж (Р6Ж) линейно поляризованным светом с $\lambda=530$ и 1060 нм. Определены также ориентации дипольных моментов переходов, ответственных за поглощение света из состояния S_1 молекулы Р6Ж на длинах волн 530 и 1060 нм. Спектральные и поляризационные исследования дополнены измерениями квантовых выходов КЛ.

Измерения степени поляризации КЛ производились на установке, схема которой приведена на рис. 1. В кювету K заливался этанольный раствор Р6Ж концентрации $1.5 \cdot 10^{16} \text{ см}^{-3}$. Молекулы красителя возбуждались в состояние S_1 моноимпульсом линейно поляризованного излучения с $\lambda=530$ нм через светоделительное зеркало $З$, сменные цветные ($Ц\Phi$) и нейтральные ($Н\Phi$) фильтры и фокусирующую линзу L_1 . Для возбуждения КЛ ИК квантами к излучению с $\lambda=530$ нм добавлялся моноимпульс

линейно поляризованного излучения с $\lambda=1060$ нм. Прошедшие через кювету световые потоки измерялись с помощью калориметра ИМО-2. Контроль интенсивности излучения осуществлялся фотоэлементом (ФЭ) или калориметром (ИМО-2). Эти измерения проводились для определения оптической плотности возбужденного раствора на $\lambda=530$ и 1060 нм. Люминесценция раствора через линзы L_2 и L_3 направлялась на монохроматор ДМР-4, за выходной щелью которого размещался фотоумножитель ФЭУ-77. Для определения степени поляризации люминесценции между линзами L_2 и L_3 вводилась призма Глана. Сигналы наносекундной длительности с ФЭ и ФЭУ поступали на преобразователи, с выходов которых снимались импульсы микросекундной длительности, что облегчало измерение сигналов на осциллографе. Амплитуды этих сигналов были пропорциональны интенсивностям световых потоков, поступающих на фотоприемники.

Квантовый выход η КЛ определялся методом сравнения с эталоном, в качестве которого использовался раствор пара-терфенила в циклогек-

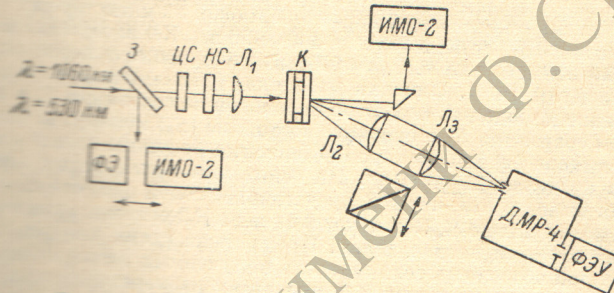


Рис. 1. Схема экспериментальной установки.

сане, возбужденный по указанной схеме моноимпульсом с $\lambda=265$ нм. Спектрально-люминесцентные характеристики раствора пара-терфенила были взяты из работы [6].

Интенсивность излучения с $\lambda=530$ нм изменялась в пределах от $2 \cdot 10^{25}$ до $1 \cdot 10^{26}$ эз/(см²·с). В этом диапазоне заселенность состояния S_1 оставалась практически неизменной и составляла $\sim 90\%$ [7] от общей концентрации молекул, а люминесценция (соответствующая переходу $S_1 \rightarrow S_0$) полностью деполяризована. Интенсивность КЛ при этом была пропорциональна величине I_{530} . Дополнительное возбуждение раствора излучением с $\lambda=1060$ нм в диапазоне интенсивности (I_{1060}) от $2 \cdot 10^{26}$ до $2 \cdot 10^{27}$ эз/(см²·с) производилось при фиксированном значении $I_{530} \sim 2 \cdot 10^{25}$ эз/(см²·с). В этих условиях интенсивность КЛ линейно зависела от величины I_{1060} и не менее чем на порядок превышала интенсивность БЛ, возбужденной излучением с $\lambda=530$ нм.

Результаты измерений степени поляризации в пределах спектра КЛ (кривые $1'$ и $2'$) и спектры ее квантовой интенсивности приведены на рис. 2. Кривые 1 и 2 относятся к КЛ, возникающей в результате действия на возбужденный раствор красителя световых потоков с $\lambda=1060$ и 530 нм соответственно. Описываемый кривой 1 спектр представлен широкой полосой с максимумом в области $\lambda=375$ нм. Этот результат находится в хорошем соответствии с работами [1, 2]. Переход к возбуждению излучением с $\lambda=530$ нм сопровождается заметным расширением спектра КЛ (кривая 2) преимущественно в длинноволновом направлении, а также возникновением сечения с максимумом в области $\lambda=310$ нм. Различие спектрального состава возбуждающего света сопровождается также различием и в спектральном ходе поляризации люминесценции (кривые $1'$ и $2'$). Обращает на себя внимание теоретически [8] предельная степень поляризации $P=-1/3$ в области $300 \div 310$ нм кривой $2'$. Такое значение P свидетельствует как о высокой анизотропии ортогонально расположенных осцилляторов, соответствующих испусканию и поглощению, так

и о том, что время жизни светящихся центров значительно короче времени вращательной релаксации этих центров в растворителе. Непостоянство значения степени поляризации КЛ в пределах ее полос указывает на сложный состав спектра люминесценции, представленной, по-видимому, излучательной дезактивацией нескольких электронных состояний (нескольких типов возбужденных центров).

Несмотря на указанные различия, возбуждаемые потоками с $\lambda=530$ и 1060 нм, свечения имеют определенное сходство, проявляющееся в практическом совпадении как максимумов квантовой интенсивности в районе $\lambda=380$ нм, так и квантовых выходов люминесценции. Значения η , по нашим измерениям, составляют $(2 \pm 1) \cdot 10^{-5}$, что согласуется с работой [1]. Указанное сходство люминесцентных характеристик позволяет сделать

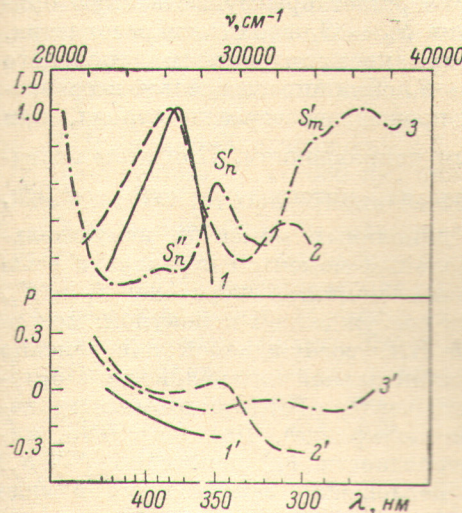


Рис. 2. Квантовые спектры коротковолновой люминесценции (1 и 2) раствора РбЖ и степени ее поляризации Р (1' и 2').

1 и 1' — при одновременном возбуждении потоками с $\lambda=530$ и 1060 нм; 2 и 2' — при возбуждении потоком с $\lambda=530$ нм; 3 — спектр поглощения из основного состояния; 3' — поляризационный спектр из работы [2]. Спектры 1, 2, 3 приведены в относительных единицах.

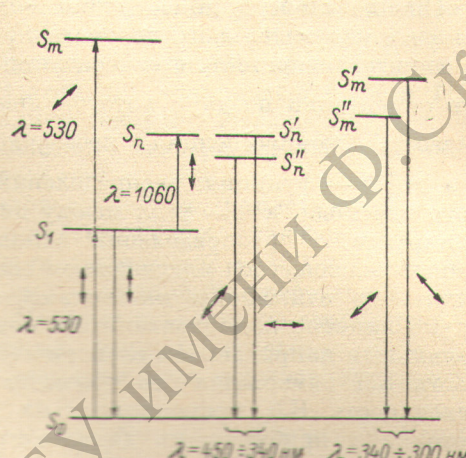


Рис. 3. Схемы электронных состояний молекулы РбЖ.

Оптические переходы показаны вертикальными прямыми линиями. Условные направления дипольных моментов переходов представлены в виде \leftrightarrow .

вывод о том, что при разных способах возбуждения КЛ, представленная в области $350 \div 450$ нм, является, по-видимому, излучательной дезактивацией одних и тех же возбужденных центров.

В спектрах, описываемых кривыми 1' и 3', в области $350 \div 450$ нм проявляется общая тенденция: при смещении в направлении увеличения λ степень поляризации плавно возрастает. Такое соответствие формы кривых 1' и 3' дает основание для предположения о том, что КЛ в спектральном участке $350 \div 450$ нм происходит в результате излучательной дезактивации тех электронных состояний молекулы РбЖ, в которые она переходит из состояния S_0 при поглощении света в указанном спектральном интервале. Однако поскольку кривая 1' характеризует относительное расположение дипольных моментов переходов $S_z \rightarrow S_0$ и $S_1 \rightarrow S_x$, а кривая 3' — переходов $S_0 \rightarrow S_x$ и $S_1 \rightarrow S_0$, то для более достоверной интерпретации природы КЛ необходимо знать, как ориентирован дипольный момент перехода $S_1 \rightarrow S_x$ относительно дипольного момента перехода $S_1 \rightarrow S_0$. Эти же сведения необходимы и для интерпретации изменения степени поляризации в пределах спектра КЛ (кривая 2') при ее ступенчатом возбуждении квантами с $\lambda=530$ нм.

Для определения взаимного расположения дипольных моментов переходов $S_1 \rightarrow S_0$ и $S_1 \rightarrow S_x$ нами была предложена и осуществлена следую-

щая методика. Кювета с исследуемым раствором РБЖ концентрации $5 \cdot 10^{16} \text{ см}^{-3}$ помещалась в образованный плоскими зеркалами резонатор и стимулированное излучение в растворе возбуждалось по поперечной схеме мономпульсом с $\lambda=530 \text{ нм}$. Возбуждающее излучение было линейно поляризовано вдоль оси резонатора, а электрический вектор потока стимулированного излучения, естественно, был перпендикулярен оси резонатора. Стимулированное излучение в данном случае служило средством повышения анизотропии ансамбля возбужденных молекул в результате селективного по ориентации дипольных моментов тушения люминесценции [10]. Мощный поток этого излучения сокращает время жизни молекул в состоянии S_1 [11] до величины, значительно меньшей времени вращательной релаксации. В таких условиях ансамбль возбужденных молекул даже в жидких растворах приобретает преимущественную ориентацию дипольных моментов переходов $S_0 \leftrightarrow S_1$ вдоль оси резонатора.

Оценка степени анизотропии молекул по направлениям дипольного момента излучательного перехода $S_1 \rightarrow S_0$ обычно заключается в сравнении интенсивностей люминесценции, прошедшей через полароид, при его ориентации по двум ортогональным направлениям. При этом интенсивность люминесценции пропорциональна интегралу $\int m(\vartheta) \cos^2 \vartheta d\vartheta$, где $m(\vartheta)$ — функция распределения дипольных моментов излучательного перехода, а ϑ — угол между дипольным моментом перехода и осью полароида. О распределении дипольных моментов перехода $S_1 \rightarrow S_x$, сопровождающегося поглощением света возбужденной молекулой, можно судить по отношению интенсивностей КЛ, возбуждаемой попеременно двумя линейно поляризованными потоками равной интенсивности с ортогональным направлением электрического вектора (E) (при этом интенсивность КЛ измеряется без применения полароида). Действительно, интенсивность КЛ пропорциональна вероятности b_{1x} перехода $S_1 \rightarrow S_x$, которая в приближении дипольного поглощения записывается в виде $b_{1x} \sim \int n(\vartheta) \cos^2 \vartheta d\vartheta$, где $n(\vartheta)$ — функция распределения дипольных моментов перехода $S_1 \rightarrow S_x$, а ϑ — угол между дипольным моментом и направлением вектора E .

Заметим, что в случае сравнения интенсивностей обычной люминесценции при наблюдении ее через полароид и в случае сравнения интенсивностей КЛ при ее возбуждении двумя, по-разному поляризованными, потоками излучения мы имеем дело с величинами, пропорциональными интегралам одного типа. Следовательно, два способа получения информации о степени анизотропии в распределении дипольных моментов переходов в возбужденной молекуле, приведенные выше, эквивалентны.

В выбранных нами условиях возбуждения и генерации была измерена степень поляризации обычной люминесценции исследуемого раствора в области $\lambda=590 \text{ нм}$. Оказалось, что при ориентации оси полароида вдоль оси резонатора интенсивность прошедшей через него люминесценции I_x^{\parallel} в 3 раза превышала интенсивность люминесценции I_x^{\perp} , наблюдавшейся через полароид, ось которого была перпендикулярна оси резонатора. Таким образом, степень поляризации обычной люминесценции составила $+1/2$.

Ансамбль возбужденных молекул с таким значением анизотропии в распределении дипольных моментов перехода $S_1 \rightarrow S_0$ возбуждался дополнительно излучением с $\lambda=1060 \text{ нм}$; при этом значение $I_x^{\parallel}/I_x^{\perp}$ оставалось равным 3. В этих условиях интенсивность (I_{kl}^{\parallel}) КЛ, вызванной световым потоком, поляризованным вдоль оси резонатора, в 3 раза превышала интенсивность (I_{kl}^{\perp}) КЛ, вызванной потоком, поляризованным ортогонально оси резонатора. Измерения интенсивности КЛ производились на $\lambda=380 \text{ нм}$. Поскольку соотношение величин $I_x^{\parallel}/I_x^{\perp}$ и $I_{kl}^{\parallel}/I_{kl}^{\perp}$ оказалось одинаковым, а используемые нами оценки степени анизотропии в распределении дипольных моментов переходов эквивалентны, то из равенства $I_x^{\parallel}/I_x^{\perp}=I_{kl}^{\parallel}/I_{kl}^{\perp}$ следует, что КЛ, возбуждаемая потоком с $\lambda=1060 \text{ нм}$, про-

исходит преимущественно в результате поглощения этого потока молекулами РбЖ в состоянии S_1 и направления дипольных моментов переходов $S_1 \rightarrow S_0$ и $S_1 \rightarrow S_x$ совпадают.

Поскольку дипольные моменты излучательных переходов, представленных в КЛ, ориентированы относительно дипольного момента перехода $S_1 \rightarrow S_x$, (кривая 1' на рис. 2) примерно так же, как и дипольные моменты переходов $S_0 \rightarrow S_x$ в области 410–340 нм относительно дипольного момента перехода $S_1 \rightarrow S_0$ (кривая 3' на рис. 2), а дипольные моменты переходов $S_1 \rightarrow S_x$ и $S_1 \rightarrow S_0$ совпадают по направлению, то остается сделать вывод, что КЛ обусловлена переходами $S_x \rightarrow S_0$. Таким образом, и за поглощение потока с $\lambda=1060$ нм, и за вызываемую этим потоком КЛ ответственна система синглетных состояний молекулы РбЖ. Смещение по шкале частот кривой 1' относительно кривой 3' (рис. 2) происходит, по-видимому, вследствие стоксового сдвига.

При добавлении к излучению на $\lambda=530$ нм, поляризованному вдоль оси резонатора, излучения такой же интенсивности и на такой же длине волны, но поляризованного перпендикулярно оси резонатора, соотношение $I_x^{\parallel}/I_x^{\perp}$ принимало значение 2.5. В этих условиях интенсивности $I_{\text{кл}}^{\parallel}$ и $I_{\text{кл}}^{\perp}$, измеренные на $\lambda=380$ нм, оказались равными. Независимость интенсивности КЛ от ориентации электрического вектора светового потока с $\lambda=530$ нм можно было бы отнести за счет того, что КЛ в этом случае проходит в результате поглощения светового потока триплетными молекулами, продуктами фотораспада или примесью. Однако, как указывалось выше, возбуждаемая потоками с разными значениями λ (530 и 1060 нм) КЛ в спектральной области 350–450 нм, по-видимому, представляет собой свечение одних и тех же центров. Поэтому неравенство соотношений $I_x^{\parallel}/I_x^{\perp}$ и $I_{\text{кл}}^{\parallel}/I_{\text{кл}}^{\perp}$ означает, что дипольные моменты переходов $S_1 \rightarrow S_0$ с $\lambda=590$ нм и $S_1 \rightarrow S_x$ с $\lambda=530$ нм развернуты друг относительно друга на некоторый угол φ .

Оценить значение φ можно из следующих простых соображений. Если $\varphi=0$, то соблюдается равенство $I_x^{\parallel}/I_x^{\perp}=I_{\text{кл}}^{\parallel}/I_{\text{кл}}^{\perp}$. С другой стороны, при $\varphi=90^\circ$ значение $I_{\text{кл}}^{\perp}$ заметно превышало бы значение $I_{\text{кл}}^{\parallel}$. Это утверждение построено на аналогии со случаем возбуждения молекул линейно-поляризованным светом в жесткой среде [8], когда при совпадении дипольных моментов, соответствующих поглощению и излучению степень поляризации люминесценции $P=-1/2$ (так же, как и нашем случае), а при их ортогональном расположении $P=-1/3$. Следовательно, значение φ занимает промежуточное положение между 0 и 90° , и в дальнейшем мы будем условно изображать дипольные моменты перехода $S_1 \rightarrow S_0$ на $\lambda=590$ нм и $S_1 \rightarrow S_x$ на $\lambda=530$ нм расположенным под углом 45° .

Из совокупности представленных в этом разделе сведений следует, что дипольные моменты переходов $S_1 \rightarrow S_x$ на $\lambda=1060$ нм и $S_1 \rightarrow S_x$ на $\lambda=530$ нм составляют между собой некоторый угол. Наличие этого угла объясняет приблизительную эквидистантность кривых 1' и 2' на рис. 2 в спектральной области 450–390 нм. Различие в ходе кривых в области 390–350 нм можно отнести за счет излучательного перехода из состояния, активно заселяемого лишь при поглощении возбужденной молекулой кванта с $\lambda=530$ нм.

Приведенные результаты исследования КЛ могут быть интерпретированы в рамках следующей схемы электронных состояний молекулы РбЖ (рис. 3). Под действием светового потока с $\lambda=530$ нм молекулы РбЖ переходят в состояние S_1 , а затем, поглотив еще один квант с $\lambda=530$ или 1060 нм, оказываются в вышележащих синглетных состояниях, соответственно S_m и S_n . В процессе внутренней конверсии молекулы проходят состояния S'_m , S''_m , S'_n , S''_n , излучательная дезактивация которых сопровождается коротковолновой люминесценцией. Промежуточные уровни S_m и S_n введены для того, чтобы в общем случае учесть возможную неидентичность электронных состояний, в которые переходит молекула в результате двухступенчатого и прямого поглощения света [12].

Люминесценция в области 350–450 нм, по-видимому, представляет излучательную дезактивацию по меньшей мере двух электронных состояний S'_n и S''_n , которые проявляются и в спектре поглощения из основного состояния (рис. 2). Учет этих состояний позволяет объяснить неизменство степени поляризации КЛ в пределах ее спектра, а также отмеченную ранее [1] аномально большую полуширину полосы КЛ в области 350–450 нм. Вклад каждого из состояний S'_n и S''_n в КЛ определяется как вероятностью излучательного перехода, так и его заселенностью, которая в свою очередь определяется соотношением констант безызлучательных переходов. С этой точки зрения устраивается противоречие между тем, что интенсивности переходов $S_0 \rightarrow S'_n$ и $S_0 \rightarrow S''_n$ в спектре поглощения (рис. 2) различаются сильно, а в спектре КЛ состояния S'_n и S''_n дают излучение примерно равной интенсивности. Некоторое различие в спектрах квантовой интенсивности КЛ, обусловленное различием поглощенных из состояния S_1 квантов ($\lambda=530$ или 1060 нм) также может быть объяснено увеличением заселенности состояния S''_n при накачке излучением с $\lambda=530$ нм. Допустима возможность влияния на деформацию спектров КЛ в длинноволновой области «горячей» люминесценции с высокими заселенными уровнями состояния S_1 .

Полоса КЛ с максимумом в области 310 нм представлена, вероятно, так же, как и полоса с максимумом $\lambda=380$ нм, излучательными переходами из заселенных состояний, о чем свидетельствует существенное изменение степени поляризации КЛ в области 300–330 нм. Одно из таких состояний, а именно S''_n , четко проявляется в спектре поглощения (рис. 2) максимум РБЖ из состояния S_0 .

Как видно из рис. 2, максимумы КЛ смешены в длинноволновую область относительно соответствующих им максимумов полос поглощения на величину $\sim 2000 \text{ cm}^{-1}$, обусловленную стоксовым сдвигом.

Определение значения времени жизни $\tau_{S_n'}$ высших синглетных состояний из соотношения $\tau_{S_n'} = \tau_{\text{рад}}/\eta$, где $\tau_{\text{рад}}$ — радиационное время жизни данного состояния, связано с рядом трудностей. Во-первых, вычисление $\tau_{\text{рад}}$ с помощью линии абсорбции может быть достаточно корректно выполнено лишь для состояния S'_n , переход в которое представлен в спектре поглощения широкой выраженной полосой. Во-вторых, невозможно оценить квантовый выход КЛ с каждого из высоковозбужденных состояний, так как нельзя достоверно определить их вклад в спектр КЛ. Следовательно, оценка времени жизни состояний способом, указанным выше, является весьма приближенной. В работе [1] приведено значение $\tau_{S_n'} = -2 \cdot 10^{-11} \text{ с}$ (при этом $\tau_{\text{рад}} = 2 \cdot 10^{-8} \text{ с}$, $\eta = 1 \cdot 10^{-5}$) для состояния S'_n в предположении, что КЛ в области 350–450 нм представлена излучательной дезактивацией только состояния S'_n . Если же считать, что в этой спектральной области КЛ состояния S'_n и S''_n вносят примерно одинаковый вклад, то тогда и по данным наших измерений $\tau_{S_n'} \approx 2 \cdot 10^{-13} \text{ с}$. Принимая, что интенсивность полосы поглощения $S_0 \rightarrow S''_n$ приблизительно на порядок слабее интенсивности полосы $S_0 \rightarrow S'_n$, при тех же предположениях получим $\tau_{S_n''} = 2 \cdot 10^{-11} \text{ с}$.

В заключение необходимо сказать, что на основании приведенных в статье сведений можно сделать обоснованный вывод о том, что свечение в коротковолновой области спектра при двухступенчатом возбуждении раствора РБЖ принадлежит преимущественно возбужденным синглетным молекулам РБЖ. Приведенная схема энергетических состояний дает представление о структуре неоднородно уширенных полос КЛ и характере поляризации переходов между этими состояниями.

Литература

- [1] М. Д. Галанин, З. А. Чижикова. Кратк. сообр. по физике № 4, 35, 1971.
- [2] G. Оглег, M. Торр. Chem. Phys. Lett., 36, 295, 1975.

- [3] G. Gillispie, E. Lin. J. Chem. Phys., 65, 2022, 1976.
- [4] D. Leupold, R. König, B. Voigt. Acta Phys. Chem., 19, 357, 1973.
- [5] Е. Н. Калитеевская, Т. К. Разумова. Опт. и спектр., 36, 1118, 1974.
- [6] I. B. Berlin. Handbook of Fluorescence spectra of aromatic Molecules. AP, New York and London, 1971.
- [7] А. В. Аристов, В. С. Шевандин. Опт. и спектр., 42, 201, 1977.
- [8] П. П. Феофилов. Поляризованный люминесценция атомов, молекул и кристаллов. ГИФМЛ, М., 1959.
- [9] П. П. Феофилов. Изв. АН СССР, сер. физ., 9, 317, 1945.
- [10] Ю. Т. Мазуренко. Опт. и спектр., 35, 234, 1973; В. В. Данилов, Ю. Т. Мазуренко, М. А. Тер-Погосян. Опт. и спектр., 38, 1224, 1975.
- [11] А. В. Аристов, Н. Г. Бахшиев, В. А. Кузин, И. В. Питерская. Опт. и спектр., 30, 143, 1971.
- [12] В. С. Шевандин, А. В. Аристов, М. И. Снегов, А. С. Черкасов. Тез. докл. III Всесоюзн. совещ. по фотохимии (Ростов-на-Дону, 1977 г.), 9, М., 1977.

Поступило в Редакцию 5 июля 1977 г.

РЕПОЗИТОРИЙ ГГУ имени Ф. Скоринь